

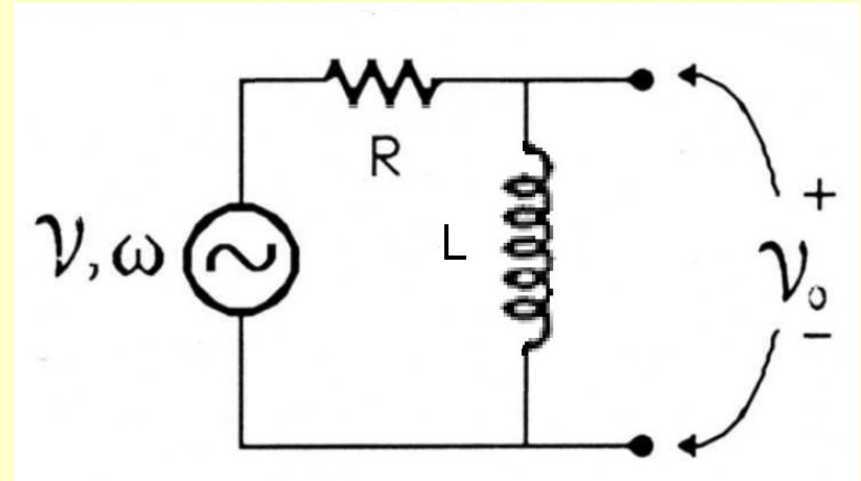
# Circuito RL

Applicando al circuito accanto la regola del partitore di tensione otteniamo

$$V_0 = V \frac{j\omega L}{R + j\omega L} = V \frac{1}{1 - j \frac{f_L}{f}}$$

con  $f_L = 1 / (2 \pi L/R)$  e  $f = \omega / 2 \pi$ .

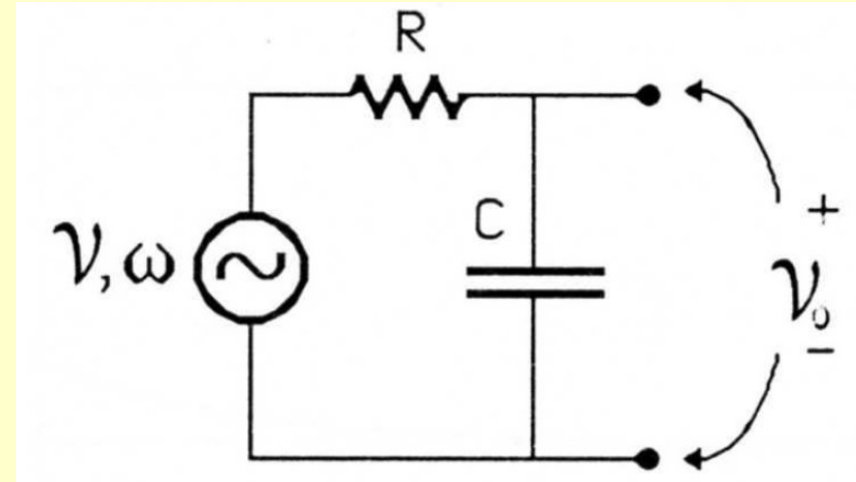
Si ottiene una relazione identica a quella per il circuito passa alto e quindi per il circuito RL valgono tutti i risultati ottenuti per il circuito CR.



# Filtro passa basso

Applicando al circuito accanto la regola del partitore di tensione otteniamo

$$V_0 = V \frac{\frac{1}{j\omega C}}{R + \frac{1}{j\omega C}} = V \frac{1}{1 + j \frac{f}{f_H}}$$



con  $f_H = 1 / (2 \pi RC)$  frequenza di taglio superiore

Definiamo poi

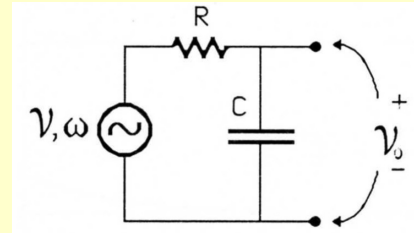
$$\mathcal{A}_H = \frac{V_0}{V} = |\mathcal{A}_H| \cdot \exp j\theta_H \longrightarrow$$

$$\begin{cases} |\mathcal{A}_H| = \frac{1}{\sqrt{1 + \left(\frac{f}{f_H}\right)^2}} \\ \theta_H = -\text{atan} \frac{f}{f_H} \end{cases}$$

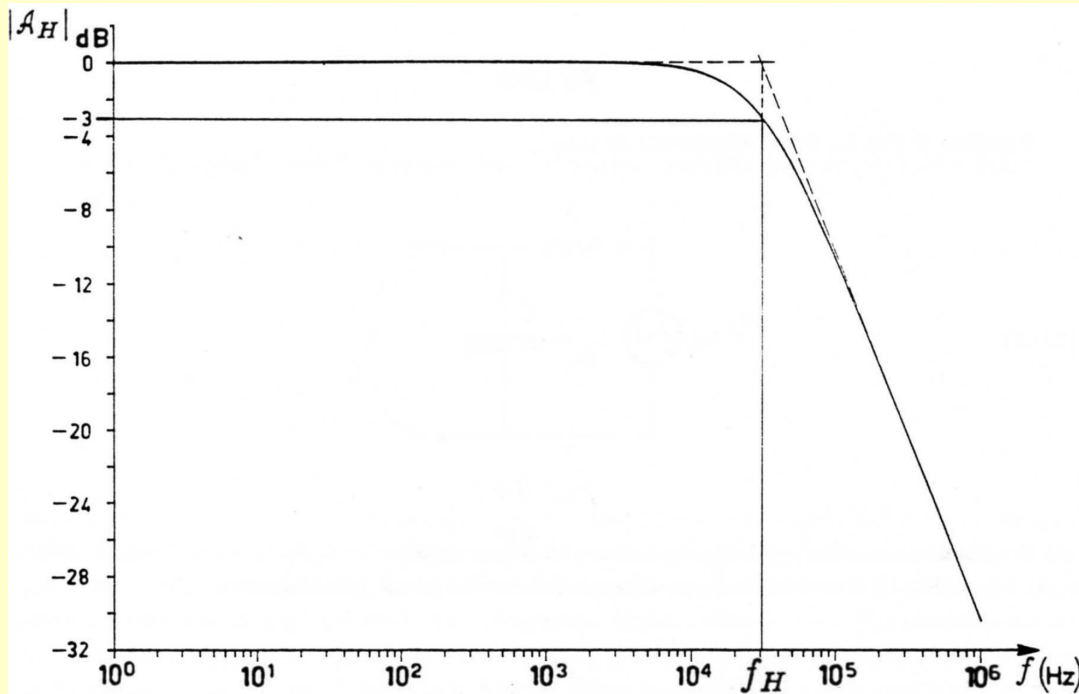
Esprimendo il  $|\mathcal{A}_H|$  in dB si ha

$$|\mathcal{A}_H|_{dB} = -10 \log \left( 1 + \left( \frac{f}{f_H} \right)^2 \right)$$

# Filtro passa basso



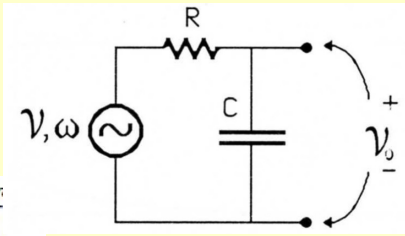
$$|\mathcal{A}_H|_{dB} = -10 \log \left( 1 + \left( \frac{f}{f_H} \right)^2 \right)$$



## Diagramma di ampiezza

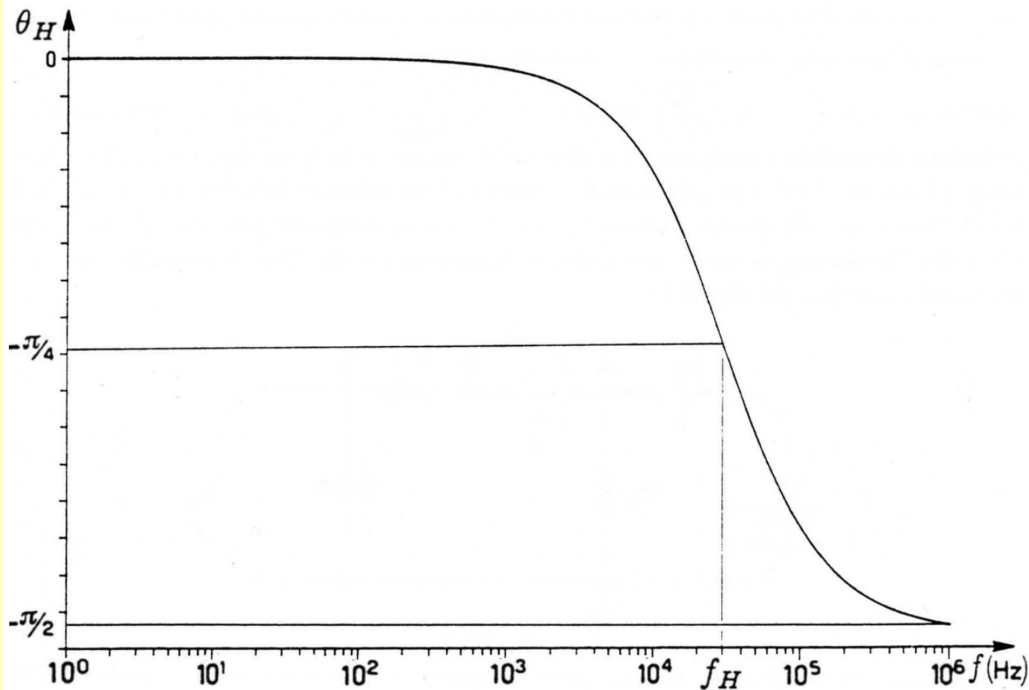
- pendenza alte frequenze =  
- 6 dB / ottava (= - 20 dB /decade)
- per  $f \ll f_H$   $|\mathcal{A}_H|_{dB} \approx 0 \rightarrow |v_o| \approx |v|$   
(resistenza trascurabile rispetto all'impedenza del condensatore)
- per  $f = f_H$   $|\mathcal{A}_H|_{dB} \approx -3 \text{ dB} \rightarrow |\mathcal{A}_H| \approx 1/\sqrt{2}$

# Filtro passa basso



Per quanto riguarda la fase, si ha:

$$\theta_H = - \operatorname{atan} \frac{f}{f_H}$$



## Diagramma di fase

- per  $f \ll f_H$   $\theta_H \rightarrow 0$  (in tali condizioni  $v = v_0$  in ampiezza e fase )
- per  $f \gg f_H$   $\theta_H \rightarrow -\pi / 2$   
(  $v_0$  è in ritardo di  $1/4$  di periodo rispetto a  $v$  )

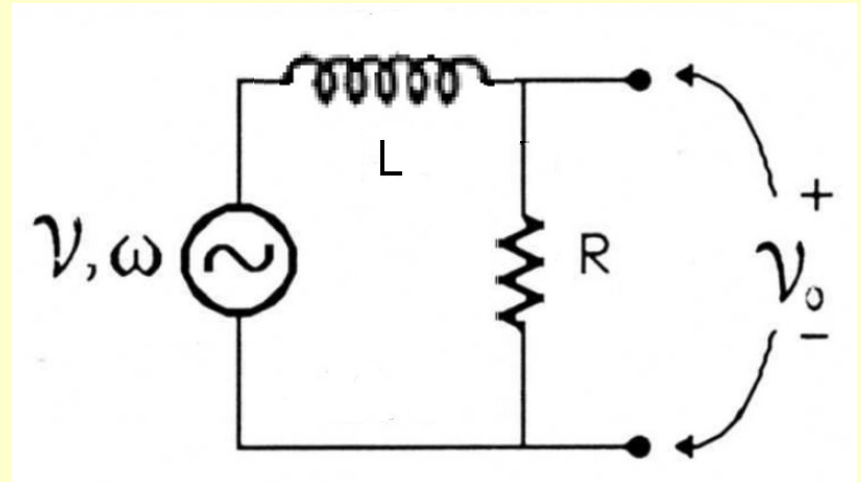
# Circuito LR

Applicando al circuito accanto la regola del partitore di tensione otteniamo

$$V_0 = V \frac{R}{R + j\omega L} = V \frac{1}{1 + j \frac{f}{f_H}}$$

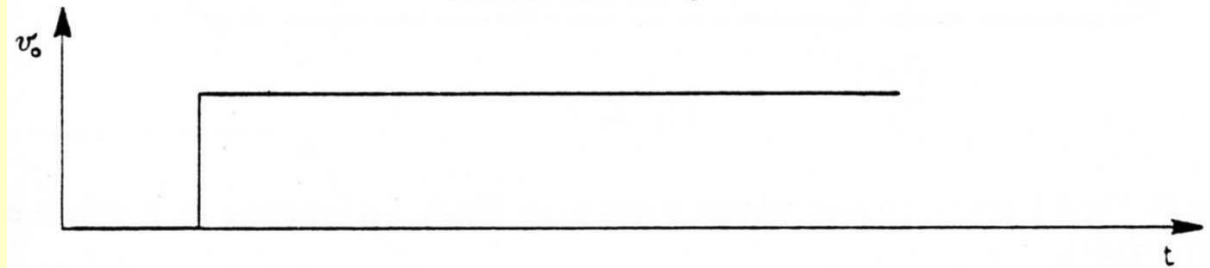
con  $f_H = 1 / (2 \pi L/R)$  e  $f = \omega / 2 \pi$ .

Si ottiene una relazione identica a quella per il circuito passa basso e quindi per il circuito LR valgono tutti i risultati ottenuti per il circuito RC.

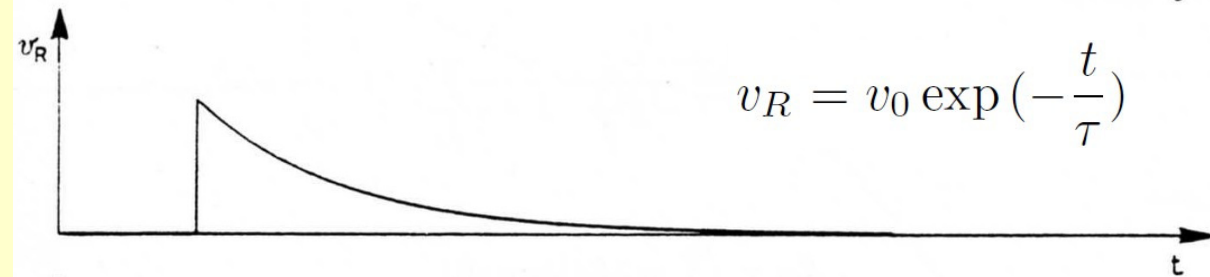
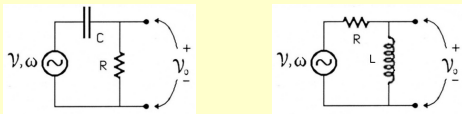


# Risposta di un filtro ad un segnale a gradino

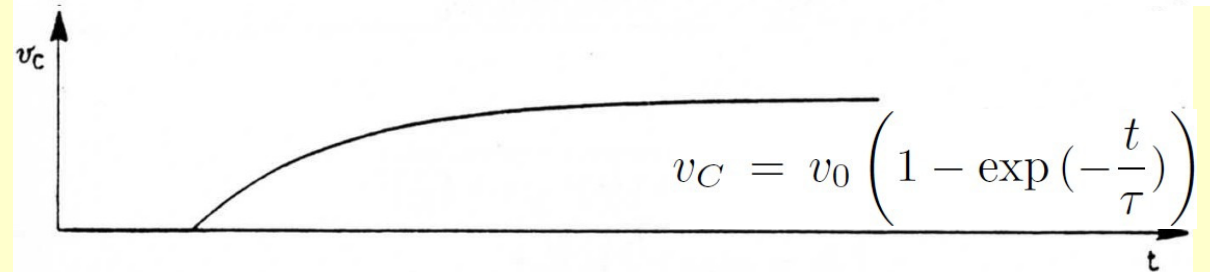
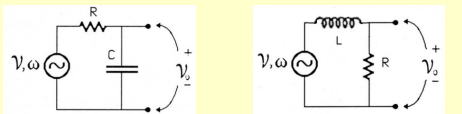
Tensione ingresso



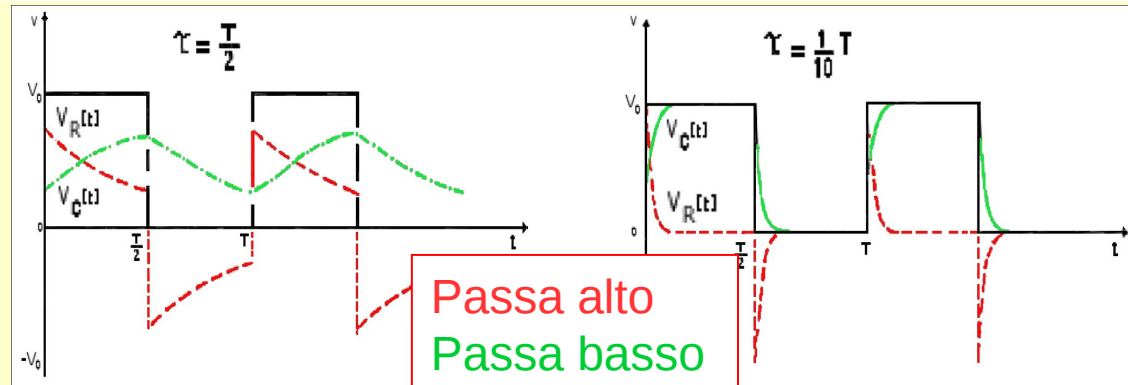
Filtro passa alto



Filtro passa basso



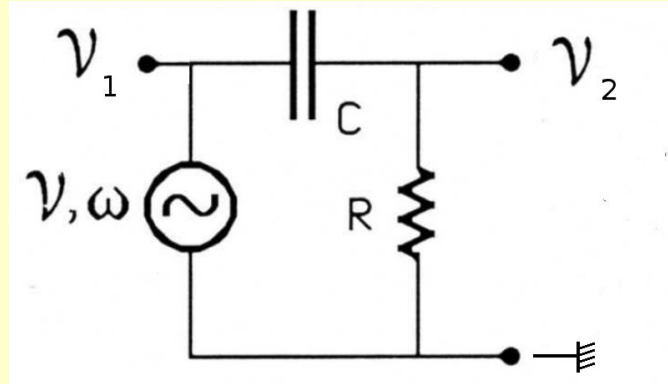
Risposta a una onda quadra



$$|t(90\%) - t(10\%)| = 2.2 \tau$$

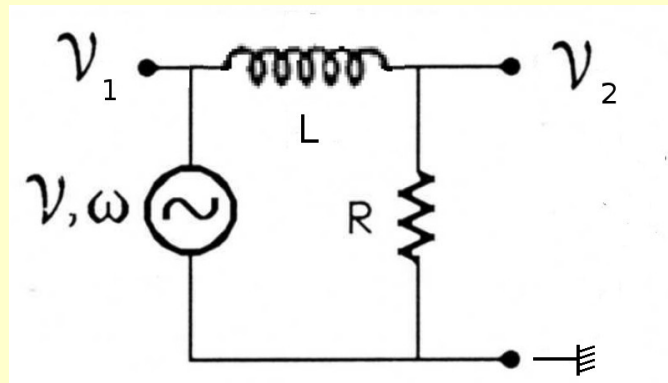
# Misure di banda passante

## Circuito CR



Si inviano i segnali prelevati ai capi del generatore e della resistenza ai canali 1 e 2 dell'oscillografo per misurarne l'ampiezza e la fase relative al variare della frequenza

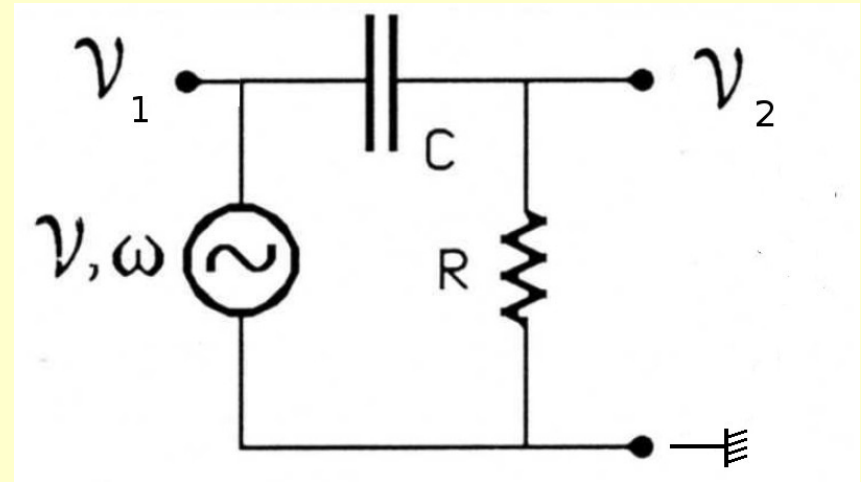
## Circuito LR



# Circuito CR

## Operazioni

- 1) misurare preliminarmente C con multimetro LCR
- 2) scegliere il valore di R in modo da avere una "frequenza di taglio inferiore" di circa 10 kHz
- 3) montare il circuito
- 4) studiare l'andamento in funzione di f (tra 100 Hz e 1 MHz, a passi 1,2,5,10) del rapporto tra le ampiezze dei segnali  $v_2$  e  $v_1$  e della loro differenza di fase
- 5) sostituito  $v_1$  con un generatore di onda quadra, misurare il tempo di discesa del segnale di uscita

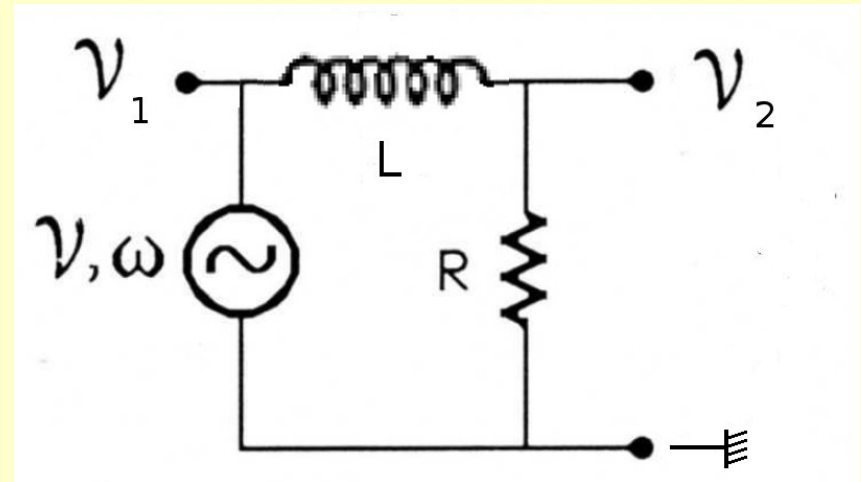




# Circuito LR

## Operazioni

- 1) misurare preliminarmente L con multimetro LCR
- 2) scegliere il valore di R in modo da avere una “frequenza di taglio superiore” di circa 10 kHz
- 3) montare il circuito
- 4) studiare l'andamento in funzione di f (tra 100 Hz e 1 MHz, a passi 1,2,5,10) del rapporto tra le ampiezze dei segnali  $v_2$  e  $v_1$  e della loro differenza di fase
- 5) sostituito  $v_1$  con un generatore di onda quadra, misurare il tempo di salita del segnale di uscita

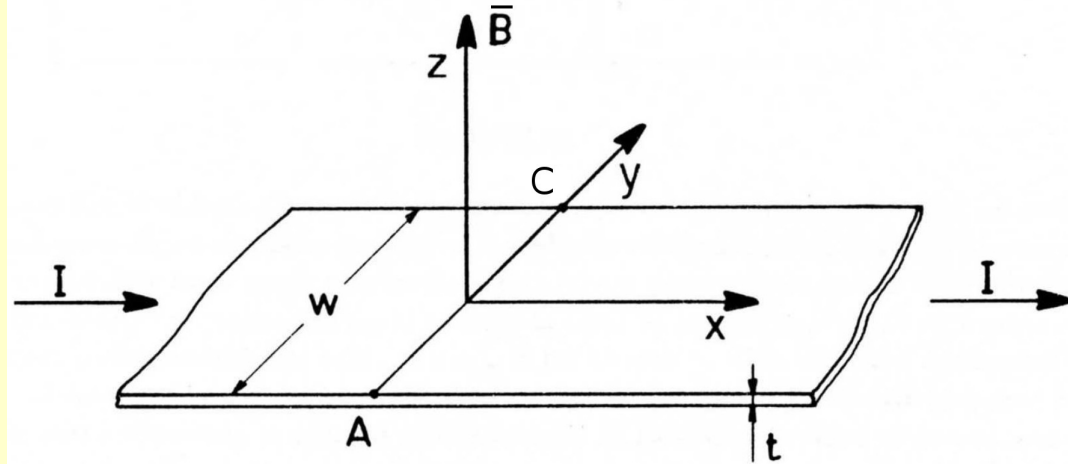




# Effetto Hall

Nastro conduttore omogeneo di dimensione infinita lungo x in cui scorre corrente I.

In assenza di campi magnetici:  
 1)  $V_A = V_C$ ,    2)  $I = j t w = qNv t w$   
 con N numero di portatori di carica q (elettroni) per unità di volume



Se a  $t = 0$  si applica un campo di induzione magnetica

$$\vec{B} = B \text{ vers } \vec{z}$$

i portatori di carica sono sottoposti alla Forza di Lorentz diretta nel verso delle y negative, indipendentemente da q

$$\vec{F} = q\vec{v} \wedge \vec{B}$$

In breve tempo ( $10^{-18}$  s) si ha accumulo di carica sulla parete destra del conduttore e creazione di un campo elettrico  $\vec{E}_H$  che compensa l'effetto della Forza di Lorentz

$$\vec{E}_H = -\vec{v} \wedge \vec{B} = -\frac{1}{qN} \vec{j} \wedge \vec{B} = \frac{IB}{qNtw} \text{ vers } \vec{y}$$

che dà luogo a una ddp di Hall

$$V_H = V_A - V_C = \int_A^C \vec{E}_H \cdot d\vec{y} = \frac{IB}{qNt}$$

# Effetto Hall

$$V_H = V_A - V_C = \int_A^C \vec{E}_H \cdot d\vec{y} = \frac{IB}{qNt}$$

Per  $B = 1 \text{ T}$  e un nastro di spessore  $t = 1 \text{ mm}$  percorso da  $I = 100 \text{ mA}$  si ha:

- Rame (Cu)

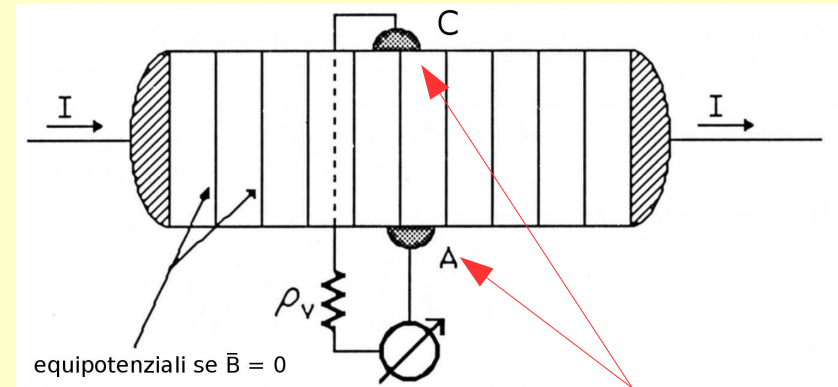
$N = 8.4 \cdot 10^{22} \text{ el/cm}^3 \rightarrow V_H = 3.7 \cdot 10^{-8} \text{ V}$

- Silicio (Si) drogato n (1 ppm Fosforo)

$N \approx 10^{16} \text{ el/cm}^3 \rightarrow V_H \approx 1 \text{ V}$

Noti quindi  $q$ ,  $N$  e  $t$ , dalla misura di  $V_H$  e  $I$  è possibile ottenere una misura della componente di  $B$  ortogonale al nastro ( $B_N$ )

In pratica si ha che  $V_H = k B_N + V_{\text{off}}$   
con  $V_{\text{off}}$  "tensione di offset" presente per  $B_N = 0$  a causa dell'asimmetria dei contatti



La determinazione di  $V_{\text{off}}$  richiede che  $B_N = 0$ , difficilmente realizzabile a causa del  $B$  terrestre. In pratica  $V_{\text{off}}$  viene ottenuta da due misure a  $180^\circ$  tra loro ( $V_0$  e  $V_\pi$ ) dalla relazione  $V_{\text{off}} = (V_0 + V_\pi)/2$

Per la misura di  $k$  è necessario di disporre di campi  $B$  noti (bobine di Helmholtz)

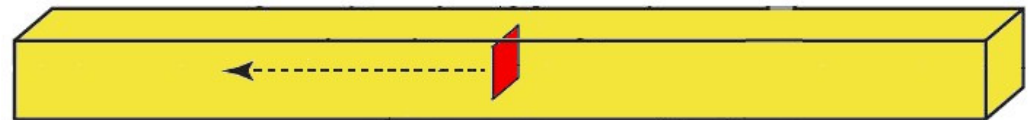
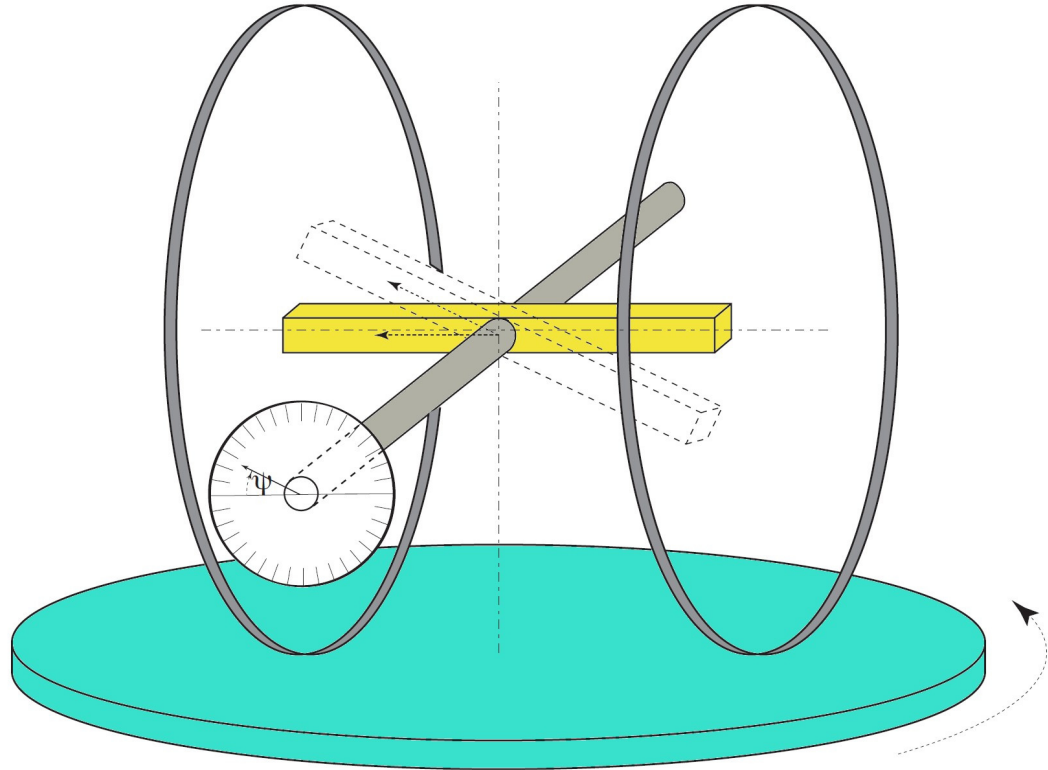


# Bobine di Helmholtz

Per  $\psi = 0$  la sonda di Hall è in  
asse con le bobine di Helmholtz

Le due bobine, coassiali, con lo  
stesso numero di spire e attra-  
versate dalla stessa corrente  $i$ ,  
producono nel punto sull'asse  
equidistante da esse un campo  
di induzione:

$$B_{BH} = \frac{n \mu_0 i}{R \left(\frac{5}{4}\right)^{\frac{3}{2}}} = k_{BH} \cdot i$$

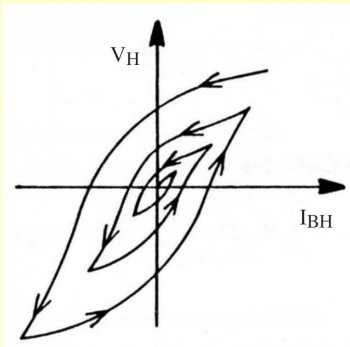


Con  $n = 120$ ,  $R = (0.313 \pm 0.005)$  m si ha  $k_{BH} = (3.45 \pm 0.06) 10^{-4} \text{ T A}^{-1}$ ,  
 $n = 60$ ,  $R = (0.313 \pm 0.005)$  m si ha  $k_{BH} = (1.72 \pm 0.03) 10^{-4} \text{ T A}^{-1}$

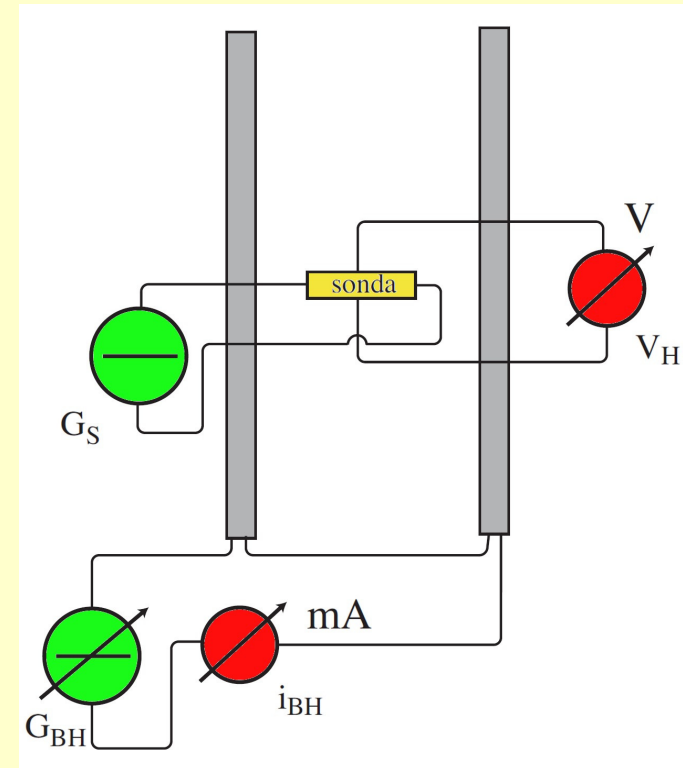
# Taratura della sonda di Hall

Montato il circuito, si orientano gli assi delle bobine e della sonda in direzione Est (minimo campo terrestre)

Taratura della sonda per correnti nelle bobine  $|i_{BH}|$  da 0 a 150 mA ( $B_{BH} = 2 - 5 \cdot 10^{-5} \text{ T}$ ). Verranno registrate le misure di tensione per correnti  $|i_{BH}|$  positive ( $V_H^+$ ) e negative ( $V_H^-$ ), facendo precedere ogni serie di correnti da un ciclo di smagnetizzazione per compensare l'isteresi.



Per ogni coppia di tensioni corrispondenti allo stesso valore di  $|i_{BH}|$



$$V_H^{+(-)} = (-) V_H^* + V_{off} + V_{IS}$$

$$V_H^+ - V_H^- = 2 V_H^* = 2 k_H B_{BH} \quad (i)$$

e questo ci permette di ottenere il valore del fattore  $k_H$ , che dovrebbe essere costante, per diversi valori di  $V^*$ , ovvero di  $B$ . L'incertezza su  $k_H$ , contiene un contributo dovuto all'incertezza sul raggio  $R$  ( $B_{BH} = B(R)$ ) che, essendo comune a tutte le misure, deve essere eliminato nello studio dell'andamento.

